

УДК 536.7

**НОСАЧ В. Г<sup>1</sup>., ШРАЙБЕР А. А.<sup>2</sup>**

<sup>1</sup> Институт технической теплофизики НАН Украины

<sup>2</sup> Институт общей энергетики НАН Украины

## ПОВЫШЕНИЕ КПД ПАРОГАЗОВЫХ УСТАНОВОК ЗА СЧЕТ КОНВЕРСИИ ПРИРОДНОГО ГАЗА В ПРОДУКТАХ СГОРАНИЯ

Запропоновано нову схему парогазової установки з термохімічною регенерацією шляхом конверсії природного газу в продуктах згоряння. Термодинамічні розрахунки свідчать, що ця схема забезпечує підвищення ККД на 5,8...7,7 % у порівнянні з традиційними ПГУ.

*A* – работа;

*I* – энталпия;

*J* – полная энталпия;

*p* – давление;

*Q* – теплотворная способность;

*T* – температура;

Предложена новая схема парогазовой установки с термохимической регенерацией путем конверсии природного газа в продуктах сгорания. Термодинамические расчеты свидетельствуют, что эта схема обеспечивает повышение КПД на 5,8...7,7 % по сравнению с традиционными ПГУ.

We have proposed a new scheme of gas-and-steam plant with thermochemical recuperation by means of natural gas conversion in exhaust gases. Thermodynamic calculations show that this scheme enables one to enhance efficiency by 5,8...7,7 % as compared with traditional gas-and-steam plants.

$\beta$  – коэффициент, определяющий расход продуктов сгорания через теплообменник 12 и турбину 5 (рис.1);

$\eta$  – КПД.

КТ – конвертированное топливо;

ПГУ – парогазовая установка;

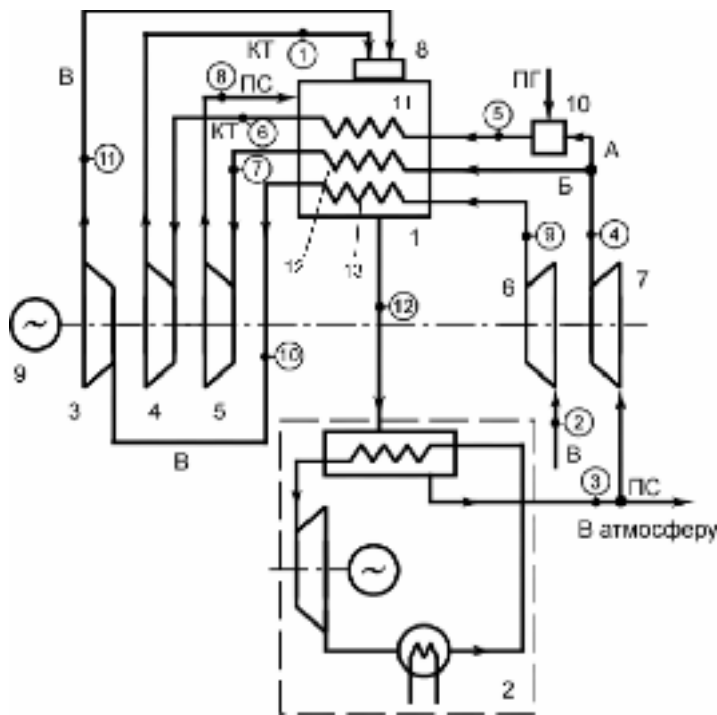
ПС – продукты сгорания.

Сегодня в энергетике различных стран широко используются парогазовые установки (ПГУ), КПД которых находится на уровне, близком к 60 %. В то же время КПД паросиловых установок обычно не превышает 40 %. Столь высокие значения КПД бинарных ПГУ достигаются главным образом за счет совершенствования процесса преобразования теплоты в работу в комбинированном теплосиловом цикле. Для этого используются различные методы карнотизации теплосилового цикла, а также повышения начальной температуры рабочего тела за счет создания новых, более жаропрочных материалов, эффективных систем охлаждения и т.д. Однако уже сегодня можно констатировать, что методы совершенствования процесса преобразования теплоты в работу практически исчерпали свои возможности для дальнейшего повышения эффективности ПГУ.

В этой связи возникает вопрос: существует ли еще какая-нибудь возможность дальнейшего по-

вышения КПД парогазовых установок? Оказывается что существует. Кроме процесса преобразования теплоты в работу, в ПГУ происходит еще один процесс преобразования энергии – превращение энергии топлива в теплоту (т.е. горение). Известно, что процесс горения сопровождается большими необратимыми потерями. Так, при получении теплоты с температурой 1200 К путем сжигания природного газа необратимые потери составляют ~ 25 % от исходной работоспособности энергии топлива.

По-видимому, единственный метод уменьшения этих потерь и, следовательно, дальнейшего повышения КПД ГТУ – это метод термохимической регенерации (ТХР) теплоты, предложенный и разработанный в Институте технической теплофизики (ИТТФ) Национальной академии наук Украины [1]. В настоящей статье рассматривается один из возможных вариантов повышения КПД ПГУ при помощи метода ТХР, который реализуется за счет конверсии природного газа в продуктах сгорания.



*Рис. 1. Схема парогазовой установки с конверсией природного газа в продуктах сгорания (ПС);*

*1 – топка; 2 – паросиловая установка;  
3 – воздушная турбина;  
турбина для конвертированного топлива;  
турбина для ПС; 6 – воздушный компрессор;  
7 – компрессор для сжатия ПС;  
8 – горелка для КТ; 9 – генератор;  
10 – смеситель; 11 – 13 – теплообменники;  
В – воздух; ПГ – природный газ.*

На рис. 1 приведена принципиальная схема ПГУ с термохимической регенерацией. Основным элементом установки является топка 1, где сжигаются продукты конверсии с коэффициентом избытка воздуха равным единице. Продукты сгорания (ПС) после охлаждения в трех теплообменниках 11 – 13 (об их назначении см. ниже) поступают в котел-утилизатор паросиловой установки 2. После котла-утилизатора определенная часть ПС выбрасывается в атмосферу, а остальные ПС сжимаются в компрессоре 7 до давления  $p$  и разделяются затем на два потока (обозначим их А и Б). Поток А ( $\text{CO}_2 + 2\text{H}_2\text{O} + 7,52\text{N}_2$ )/3 смешивается с природным газом в смесителе 10 и поступает в теплообменник 11, где происходит реакция

конверсии. Далее конвертированное топливо (КТ) расширяется в турбине 4 до атмосферного давления и подается в горелку 8. Другой поток Б  $\beta(\text{CO}_2 + 2\text{H}_2\text{O} + 7,52\text{N}_2)$  из компрессора 7 направляется в теплообменник 12 и после расширения в турбине 5 сбрасывается в топку 1. Кроме того, воздух, необходимый для сжигания КТ, проходит через компрессор 6, теплообменник 13 и воздушную турбину 3 и подается в горелку 8. Таким образом, полезная работа установки равна сумме работ турбин 3 – 5 и паровой турбины установки 2 за вычетом работ компрессоров 6 и 7, а КПД составит

$$\eta = (A_3 + A_4 + A_5 + A_2 - A_6 - A_7)/Q,$$

где  $Q$  – теплотворная способность природного газа.

Приведем некоторые результаты термодинамических расчетов данной схемы. В расчетах варьировались значения  $p$ ,  $\beta$  и температур нагреваемого вещества после теплообменников 11 – 13 (предполагалось, что в каждом варианте расчета эти температуры для трех потоков одинаковы). Для упрощения принимались следующие предпосылки:

исходное топливо представляет собой метан;

в теплообменнике 11 достигается равновесный состав продуктов конверсии;

потери давления и теплоты во всех аппаратах и трубопроводах установки пренебрежимо малы.

Состав продуктов конверсии природного газа определялся по методике [2, 3]. Предполагалось, что для всех вариантов внутренний КПД газовых и воздушной турбин равен  $\eta_t = 0,92$ , обоих компрессоров –  $\eta_c = 0,88$ , а КПД паросилового цикла –  $\eta_v = 0,4$ . Для выполнения последнего условия принималось, что температура ПС на выходе из топки (точка 12 на рис.1) должна быть не менее 873 К, так что для каждой комбинации значений  $p$  и  $T_6$  накладывалось соответствующее ограничение сверху на величину  $\beta$  ( $\beta \leq \beta'$ ). Кроме того, адиабатическая температура горения должна быть на некоторое  $\Delta T$  (например, 50 К) выше, чем  $T_6$  (напомним, что  $T_7 = T_{10} = T_6$ ), так что на  $\beta$  накладывалось еще одно ограничение  $\beta \leq \beta''$ . Расчеты показали, что во всех случаях  $\beta < \beta''$ , так что в итоге второе ограничение оказалось излишним.

Табл. Параметры рабочих тел

Номер точки на рис. 1	Параметры	Номер варианта	
		1	2
1	Состав КТ, кмоль/кмоль CH <sub>4</sub>	CH <sub>4</sub>	0,026
		N <sub>2</sub>	2,507
		H <sub>2</sub>	2,593
		CO <sub>2</sub>	0,004
		CO	1,303
		H <sub>2</sub> O	0,022
	Температура <i>T</i> , К		806,0
	Теплотворная способность КТ <i>Q</i> , МДж/кмоль CH <sub>4</sub>		1016,8
	Полная энталпия <i>J</i> , МДж/кмоль CH <sub>4</sub>		1116,1
	2 Температура <i>T</i> , К		300
3	Состав ПС, кмоль/кмоль CH <sub>4</sub>	CO <sub>2</sub>	2,325
		H <sub>2</sub> O	4,650
		N <sub>2</sub>	17,494
	Температура <i>T</i> , К		300
4	Давление <i>p</i> , МПа		1,5
	Температура <i>T</i> , К		647,0
	Энталпия <i>I</i> , МДж/кмоль CH <sub>4</sub>		276,5
5	Состав реагирующей смеси, кмоль/кмоль CH <sub>4</sub>	CH <sub>4</sub>	1
		CO <sub>2</sub>	0,333
		H <sub>2</sub> O	0,667
		N <sub>2</sub>	2,507
	Теплотворная способность <i>Q</i> , МДж/кмоль CH <sub>4</sub>		802,3
	Полная энталпия <i>J</i> , МДж/кмоль CH <sub>4</sub>		842,2
6	Температура <i>T</i> , К		1500
	Полная энталпия <i>J</i> , МДж/кмоль CH <sub>4</sub>		1260,1
7	Температура <i>T</i> , К		1500
	Энталпия <i>I</i> , МДж/кмоль CH <sub>4</sub>		445,4
8	Температура <i>T</i> , К		879,7
	Энталпия <i>I</i> , МДж/кмоль CH <sub>4</sub>		201,7
9	Температура <i>T</i> , К		680,2
	Энталпия <i>I</i> , МДж/кмоль CH <sub>4</sub>		110,4
10	Температура <i>T</i> , К		1500
	Энталпия <i>I</i> , МДж/кмоль CH <sub>4</sub>		371,7
11	Температура <i>T</i> , К		830,7
	Энталпия <i>I</i> , МДж/кмоль CH <sub>4</sub>		155,8
Работа турбин, МДж/кмоль CH <sub>4</sub> :		A <sub>3</sub>	215,9
		A <sub>4</sub>	144,0
		A <sub>5</sub>	243,7
		A <sub>2</sub>	185,1
Работа компрессоров, МДж/кмоль CH <sub>4</sub> :		A <sub>6</sub>	109,0
		A <sub>7</sub>	155,5
Полезная работа установки, A <sub>Σ</sub> , МДж/кмоль CH <sub>4</sub>			524,2
КПД установки			0,653
			0,655

Примечание: давление в точках 6, 7, 9, 10 то же, что и в точке 4; состав КТ в точке 6 тот же, что и в точке 1; в точках 2, 9, 10, 11 рабочее тело – теоретически необходимое количество воздуха (2O<sub>2</sub> + 7,52 N<sub>2</sub>).

Некоторые результаты расчета двух вариантов при  $\beta = \beta'$  приводятся в таблице (здесь  $\beta_1 = 0,992$ ;  $\beta_2 = 0,984$ ). Видно, что при  $T_6 = 1500$  К предложенная схема позволяет получить высокую эффективность парогазовой установки. Одна из причин этого состоит в том, что процесс конверсии существенно увеличивает объем газов: конвертированное топливо в точке 6 содержит 6,455 киломолей на 1 киломоль метана, в то время как исходная смесь (точка 5) – всего 4,507 киломолей, причем из них в компрессоре 7 сжимается лишь 3,507 киломолей (продукты сгорания). Поэтому соотношение между работой турбины 4 и той частью работы компрессора 7, которая затрачивается на сжатие потока A (см. рис. 1), достигает 3,7, в то время как подобное соотношение для других рабочих тел – порядка 2. Обращает на себя внимание также очень слабая зависимость эффективности схемы от рабочего давления.

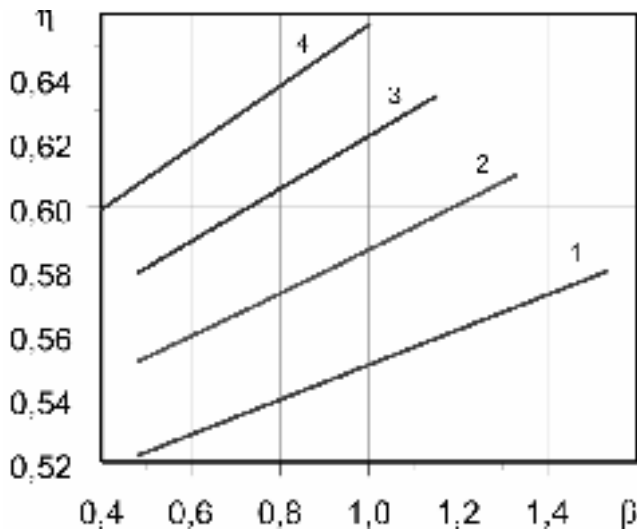


Рис. 2. Зависимость КПД ПГУ от коэффициента  $\beta$ : 1 –  $T_6 = 1200$  К; 2 – 1300 К; 3 – 1400 К; 4 – 1500 К.

На рис. 2 представлена зависимость КПД парогазовой установки от коэффициента  $\beta$  для различных температур  $T_6$ . Во-первых, эффективность ПГУ быстро растет с повышением начальной температуры рабочих тел перед турбинами 3 – 5 на рис. 1. Во-вторых,  $\eta$  увеличивается с ростом  $\beta$ , т.е. целесообразно пропускать как можно больший расход ПС через теплообменник 12 и турбину 5: КПД преобразования тепловой энергии в работу в этом цикле оказывается значительно выше, чем в цикле паросиловой установки 2 ( $\eta_v = 0,4$ ).

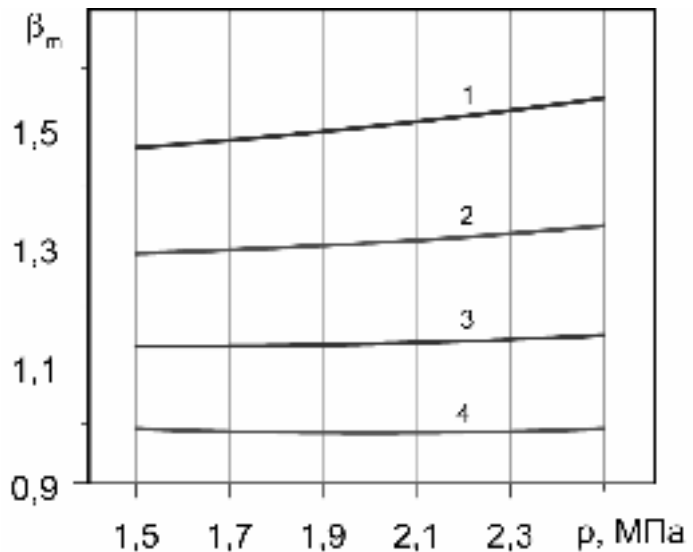


Рис. 3. Зависимость оптимального значения коэффициента  $\beta$  от давления:  
1 –  $T_6 = 1200$  К; 2 – 1300 К; 3 – 1400 К; 4 – 1500 К.

Таким образом, при каждом давлении и температуре  $T_6$  оптимальным будет значение  $\beta_m = \beta'$ . Зависимость  $\beta_m$  от давления приведена на рис. 3. Видно, что при низких начальных температурах  $\beta_m$  заметно возрастает при повышении  $p$ , но при высоких  $T_6$  эта зависимость вырождается. Максимально достижимые КПД при различных давлениях и температурах иллюстрирует рис. 4. Если при низких температурах  $\eta_m$  растет с уменьшением давления, то при высоких уже практически не зависит от  $p$ .

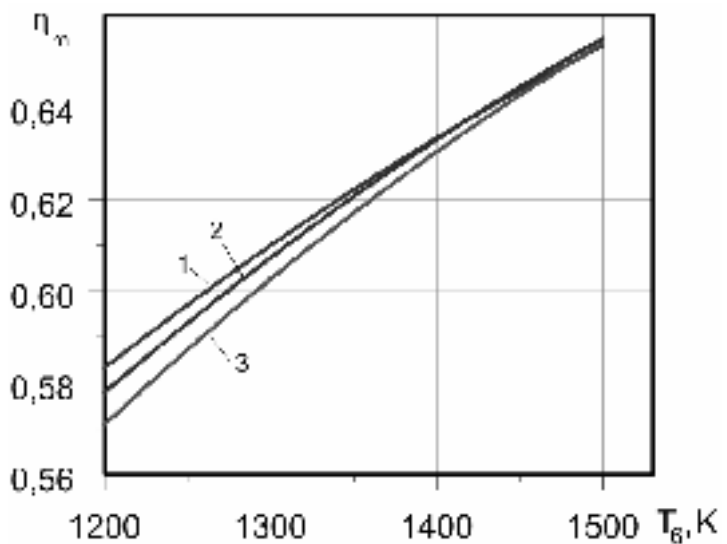


Рис. 4. Зависимость максимального КПД ГТУ от температуры рабочих тел перед турбинами:  
1 –  $p = 1,5$  МПа; 2 – 2 МПа; 3 – 2,5 МПа.

Следует отметить еще два достоинства предложенной схемы. Во-первых, сжигание КТ, состоящего главным образом из молекулярного водорода и оксида углерода (см. табл., точка 1), позволяет существенно снизить выбросы вредных веществ в атмосферу по сравнению с горением метана. Во-вторых, отпадают трудности, связанные с конструированием камеры сгорания газотурбинной установки, работающей при высоком давлении.

В заключение представляется целесообразным сравнить предложенную схему с традиционной ПГУ. Термодинамический расчет последней для четырех начальных температур  $T_i$  при тех же условиях и предпосылках, что описаны выше, дает следующие результаты:

$T_i, K$	1200	1300	1400	1500
$\eta^\circ$	0,506	0,541	0,571	0,597
$\eta_m - \eta^\circ$	0,077	0,069	0,062	0,058

Таким образом, предложенная схема обеспечивает существенно (на 5,8...7,7 %) более высокий КПД по сравнению с традиционными парогазовыми установками.

## ЛИТЕРАТУРА

1. Носач В. Г. Энергия топлива – К.: Наук. думка, 1989. – 148 с.
2. White W. B., Johnson S. M., Dantzig G. B. Chemical equilibrium in complex mixtures//J. Chem. Phys. – 1958. – V. 28, No. 5. – P. 751 – 755.
3. Носач В. Г., Шрайбер А. А. Повышение эффективности использования биогаза в теплоэнергетических установках с помощью термохимической регенерации// Промышленная теплотехника. – 2009. – Т. 31, № – 2. – С. 57 – 63.

Получено 09.06.2009 г.